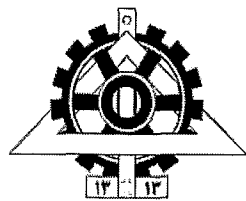


برنام خدا با پادخدا و برای خدا

۹۳۸۷۶



دانشگاه تهران
پردیس دانشکده های فنی
دانشکده مهندسی متابولورژی و مواد



بورسی تأثیر ترکیبات بین فلزی غنی از آهن بر رفتار تریبولوژیکی آلیاژهای Al-Si

نگارش:

رضا تقی‌آبادی

استاد راهنمای:

دکتر حمید رضا قاسمی منفرد راد

استاد مشاور:

دکتر سعید شبستری

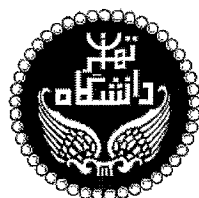
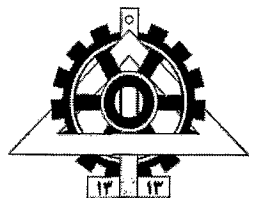
۱۳۸۷ / ۱۲ / ۱۱

پایان نامه برای دریافت درجه دکترای تخصصی در رشته مهندسی مواد

اسفند ۱۳۸۶

۷۳۰۱۷

حسین



تعهد نامه اصالت اثر

اینجانب رضا تقی آبادی تایید می کنم که مطالب مندرج در این رساله حاصل کار پژوهشی اینجانب است و به دستاوردهای پژوهشی دیگران که در این نوشه از آنها استفاده شده است مطابق مقررات ارجاع گردیده است. این رساله قبل از احراز هیچ مدرک هم سطح یا بالاتر ارائه نشده است. کلیه حقوق مادی و معنوی این اثر متعلق به دانشکده فنی دانشگاه تهران می باشد.

نام و نام خانوادگی دانشجو: رضا تقی آبادی

امضاء دانشجو:

تقدیم به پدر و مادر بزرگوارم

آنان که سالها تلاش و زحمت را برابری به بار نشتن دخت زندگیم به جان خریدند و نجح و زحمت
بسیاری را به امید پرورش گلهای سعادت و خوشبختی تحمل کردند. آنان که عمر گرانایه شان با عشق
حقیقی به فرزندان می‌گزدند و منظر ایمان، صبر و شکیبایی هستند و آنان که در تمامی لحظات عمر
خواهم توانست آنچه حق تمامی زحمات آنهاست را به جای آورم

و

تقدیم به آنان که به نام یک خانواده به ایشان هم بسته ام و هم و محبت شان دستگیر و یاور واقعی من است.

چکیده

در این پژوهش تاثیرات بین فلزی غنی از آهن بر رفتار تریبولوژیکی آلیاژهای هیپویوتکتیک Al-Si مورد بررسی قرار گرفته است. بدین منظور آلیاژ F332 حاوی ۱۵٪ آهن به عنوان آلیاژ پایه انتخاب گردیده و مقادیر مختلف آهن شامل ۰/۷، ۱/۲، ۱/۸ و ۲/۵ درصد به مذاب این آلیاژ افزوده گردید. به منظور بررسی تاثیر سرعت انجاماد و بهسازی شیمیایی بر ترکیبات غنی از آهن و خواص تریبولوژیکی، آلیاژهای فوق با استفاده از منگنز و استرانسیم تحت عملیات بهسازی قرار گرفته و سپس در قالب چدنی پیشگرم شده با سرعت انجاماد متوسط $3^{\circ}\text{C}/\text{s}$ و قالب مسی آبگرد با سرعت انجاماد متوسط حدود $15^{\circ}\text{C}/\text{s}$ ریخته‌گری گردیدند. در ادامه کلیه نمونه‌های تهیه شده تحت بررسیهای ریزساختاری، آنالیز تصویری و آنالیز فازی قرار گرفتند.

رفتار سایشی آلیاژها به روش پین روی دیسک در شرایط خشک و سه دمای ۲۵، ۱۰۰ و 200°C تحت چهار نیروی ۲۰، ۳۰، ۴۰ و 80 N ، سرعت لغزش $0/5\text{m}/\text{s}$ و مسافت 1000 m مورد بررسی قرار گرفت. همچنین به منظور تفسیر بهتر نتایج حاصل از بررسی رفتار تریبولوژیکی، تاثیر آهن بر خواص مکانیکی آلیاژ شامل استحکام کششی، استحکام تسلیم، درصد ازدیاد طول، سختی و مقاومت به ضربه نیز بررسی گردید. نتایج حاصله حاکی از آن است که در سرعت انجاماد $3^{\circ}\text{C}/\text{s}$ افزودن آهن تا حدود ۰/۷ درصد به آلیاژ پایه موجب بهبود سختی و مقاومت به سایش آن گردیده و تاثیر منفی بر استحکام کششی و انعطاف پذیری آن ندارد. بر اساس نتایج حاصل از بررسیهای ریزساختاری، آنالیز فازی و آنالیز تصویری، افزودن آهن موجب شکل‌گیری رسوبات بتای صفحه‌ای شکل با فرمول شیمیایی $\beta\text{-Al}_5\text{FeSi}$ در زمینه می‌گردد که کسر حجمی و طول متوسط آنها به سرعت انجاماد و غلظت آهن وابسته بوده و در صورت افزایش میزان آهن و/یا کاهش سرعت انجاماد افزایش می‌یابد. چنانچه غلظت آهن در آلیاژ حدود ۰/۷ درصد باشد کسر حجمی رسوبات بتا کم بوده و این ذرات به صورت ریز و بین دندانه‌های در زمینه رسوب می‌نمایند. با این حال افزودن مقادیر بیشتر آهن موجب افزایش کسر حجمی و طول متوسط رسوبات سخت و شکننده بتا می‌گردد. تحت این شرایط سختی آلیاژ افزایش یافته ولی مقاومت به ضربه، انعطاف پذیری و مقاومت سایشی آن کاهش می‌یابد. افزودن منگنز موجب جایگزین شدن رسوبات صفحه‌ای شکل بتا توسط رسوباتی با مورفولوژی مناسب تر موسوم به فاز آلفا ($\alpha\text{-Al}_{15}(\text{Fe,Mn})_3\text{Si}_2$) گردیده و موجب کاهش قابل ملاحظه اثرات تردی

ناشی از حضور رسوبات بتا در زمینه آلیاژ می گردد. بنابراین ضمن حفظ سختی آلیاژ در حضور ذرات آلفا، انعطاف پذیری آن نیز افزایش یافته و این می تواند مقاومت به سایش آلیاژ بهسازی شده را در مقایسه با شرایط عدم بهسازی به میزان قابل توجهی بهبود دهد. به عنوان مثال در سایش تحت نیروی N_{40} مقاومت به سایش آلیاژ حاوی $1/8$ درصد آهن بهسازی شده توسط منگنز، که بهترین خواص سایشی را در بین آلیاژهای بهسازی شده ارائه می نماید حدود 25 درصد بیشتر از مقاومت به سایش آلیاژ حاوی $7/0$ درصد آهن است که بهترین خواص سایشی را در شرایط بهسازی نشده ارائه می نمود.

تأثیر افزایش سرعت انجاماد و بهسازی شیمیایی در بهبود خواص مکانیکی و تریبولوژیکی آلیاژ F_{332} به مراقب بیشتر است. افزایش سرعت انجاماد فاصله بین بازوهای ثانویه دندربیتی را کاهش داده و ضمن کاهش ابعاد فازهای ثانوی و تخلخلها، توزیع آنها در زمینه را یکنواخت تر می گرداند و موجب افزایش استحکام، سختی و درصد ازدیاد طول آلیاژ می گردد. بر این اساس مقاومت به سایش آلیاژهای منجمد شده تحت سرعت $15^{\circ}C/S$ پس از بهسازی بیشتر از مقاومت به سایش آلیاژهای تهیه شده در قالب چدنی است. نتایج حاصله نشان می دهد که در مورد آلیاژ حاوی $1/2$ درصد آهن، سختی، استحکام کششی و درصد ازدیاد طول پس از بهسازی توسط استرانسیم و انجاماد سریع به ترتیب حدود 25 ، 70 و 400 درصد بهبود یافته و مقاومت به سایش آلیاژ در محدوده بارهای مورد مطالعه بین 50 تا 70 درصد افزایش می یابد.

نتایج حاصل از بررسی تأثیر ترکیبات غنی از آهن بر رفتار تریبولوژیکی دما بالای آلیاژ F_{332} نیز حاکی از آن است که حضور این ترکیبات سخت و نقطه ذوب بالا، موجب بهبود مقاومت سایشی آلیاژ در دماهای بالا می گردد. به عنوان مثال مقاومت به سایش آلیاژ حاوی $1/8$ درصد آهن پس از بهسازی توسط منگنز در دو دمای 100 و $200^{\circ}C$ به ترتیب حدود 15 و 20 درصد بیشتر از مقاومت به سایش آلیاژ بهسازی نشده حاوی $7/0$ درصد آهن در شرایط کاری یکسان است. با توجه به نتایج به دست آمده از تعیین خواص کششی در دمای بالا، بهبود خواص سایشی در دماهای بالا را می توان ناشی افزایش انعطاف پذیری آلیاژ و نقش موثر ترکیبات غنی از آهن نقطه ذوب بالا در افزایش پایداری حرارتی آلیاژ دانست.

واژه های کلیدی: آلومینیم-سیلیسیم، انجاماد، ترکیب بین فلزی، بهسازی، تریبولوژی، سایش، اصطکاک

لقد رو شکر

حمد و سپاس فراوان به درگاه ایزد متعال که کلات عشقش د ذات عالم جایست. او که می داند از شکر نعمت‌های بی شمارش عاجزم و جز لطف و هرش در دنیا و آخرت پنج امیدی ندارم ...

در ابتدای این رسالت سپاس و شکر خود را خدمت استاد گرامی جناب آقای دکتر حیدر رضا قاسمی تقدیم می دارم که صبور تغلی،
حیات و هدایت ایشان موثرترین نقش را در بهترین این تحقیق داشت. از استاد گرانقدر جناب آقای دکتر سعید شبرتری که
مسئلیت مشاوره این پژوهه را بر عده داشتند و تجربیات ارزشمند خویش را میانه در اختیار بندۀ قرار دادند شکر و قدردانی می نمایم. از
استاد گرامی جناب آقای دکتر عطائی معاون محترم تحصیلات تکمیلی و اسکنده مهندسی متالورژی و مواد و جناب آقایان دکتر
اخلاقی، دکتر اسدی، دکتر تقیان و دکتر سی که زحمت بازخوانی و داوری این رسالت را متحمل شدند کمال شکر را دارم. هچنین
لازم می دانم که از زحمات و راهنمایی ارزشمند و بی دین استاد محترم جناب آقای دکتر رضا محمودی پاسکزاری نمایم.

از برادران عزیزم جناب آقایان مهندس احمد و این سعدی که با حیاتهای خویش شرایط را برای انجام هرچه بترانین رسالت فرام
نمودند صیغه شکر و قدردانی می نمایم.

از دوست عزیزم جناب آقای مهندس وحید ابوی که اینجانب را در انجام بخشی از آذیشهای پژوهه همراهی نمودند نهایت شکر و
قدردانی را دارم. هچنین لازم می دانم که از دوستان عزیزم جناب آقایان مهندس اکبر اسحاقی، محمد امامی و محمد منی صمیمان
پاسکزاری نمایم.

فهرست مطالب

۱	فصل اول: مقدمه
۳	فصل دوم: مروری بر منابع مطالعاتی
۳	۳-۱-معرفی آلیاژ F332 آلمینیم
۶	۳-۲-تریبولوژی و سایش آلیاژهای Al-Si
۷	۴-۱-بررسی رزیم های سایش لغزشی در آلیاژهای Al-Si
۷	۴-۱-۱-سایش بسیار خفیف
۷	۴-۱-۲-سایش خفیف
۱۰	۴-۱-۳-سایش شدید
۱۴	۴-۱-۴-سایش ذوبی
۱۴	۴-۱-۵-قفل شدن
۱۵	۴-۲-۱-بررسی ویژگیهای سطحی و خردکهای سایشی در دو رزیم سایش خفیف و شدید
۱۵	۴-۲-۱-۱-سطح سایش
۱۵	۴-۲-۲-ذرات ناشی از سایش
۱۷	۴-۲-۲-۲-۲-۳-لایه های زیرسطحی
۱۷	۴-۲-۳-اصطکاک
۲۰	۴-۲-۴-۱-بررسی تاثیر پارامترهای موثر بر نرخ سایش آلیاژهای Al-Si
۲۱	۴-۲-۴-۱-تاثیر بار بر نرخ سایش
۲۱	۴-۲-۴-۲-تاثیر مسافت لغزش بر نرخ سایش
۲۴	۴-۲-۴-۳-تاثیر سرعت لغزش بر نرخ سایش
۲۶	۴-۲-۴-۴-تاثیر دما بر نرخ سایش

۲۹	۴-۲-۲-۲-تاثیر میزان و مورفولوژی سیلیسیم آلیاژ بر نرخ سایش.....	۴-۵
۲۹	۴-۲-۲-۲-تاثیر عملیات حرارتی بر نرخ سایش.....	۴-۶
۳۱	۴-۲-۲-۲-تاثیر عناصر آلیاژی بر نرخ سایش آلیاژهای Al-Si.....	۴-۷
۳۲	۲-۳-ترکیبات بین فلزی حاوی آهن در سیستم سه تایی Al-Fe-Si.....	۳
۳۲	۲-۳-۲-تاثیر افزودن آهن به آلیاژهای هیپویوتکتیک Al-Si.....	۱
۳۶	۲-۴-۲-تاثیر ترکیبات بین فلزی حاوی آهن بر خواص مکانیکی آلیاژهای هیپویوتکتیک Al-Si.....	۲
۳۶	۲-۴-۲-خواص مکانیکی در دمای محیط	۱
۳۹	۲-۴-۲-خواص مکانیکی دمای بالا	۲
۳۹	۲-۴-۳-روشهای خنثی سازی اثرات مخرب آهن در آلیاژهای Al-Si.....	۳
۴۰	۲-۴-۳-۱-۱-بهسازی شیمیایی	۱
۴۲	۲-۴-۳-۱-۲-بهسازی توسط استرانسیم	۲
۴۳	۲-۴-۳-۲-تاثیر سرعت سرد کردن (انجماد).....	۲
۴۳	۲-۴-۳-۳-تاثیر دمای فوق گداز.....	۳
۴۴	۲-۴-۳-۴-تاثیر عملیات حرارتی.....	۴
۴۶	۲-۴-۴-جدایش وزنی ترکیبات بین فلزی و اثرات نامطلوب ناشی از آن.....	۴
۴۹	۳-۱-تهیه و آماده سازی مواد اولیه.....	۱
۴۹	۳-۲-عملیات ذوب و ریخته گری.....	۲
۴۹	۳-۲-۱-بررسی تاثیر افزودن آهن و منگنز بر ریزساختار و خواص آلیاژ	۱
۵۱	۳-۲-۲-بررسی تاثیر سرعت انجماد و افزودن عناصر بهساز بر ریزساختار و خواص آلیاژ F332	۲
۵۲	۳-۳-بررسی ساختار میکروسکپی و آنالیز تصویری	۳

۵۲ ۱-۳-۳- بررسی ساختار میکروسکوپی
۵۳ ۲-۳-۳- آنالیز تصویری
۵۴ ۴-۳- بررسی خواص مکانیکی
۵۵ ۱-۴-۳- آزمون کششی
۵۶ ۲-۴-۳- سختی سنجی
۵۷ ۳-۴-۳- آزمون مقاومت به ضربه (چفرمگی ضربه ای)
۵۸ ۵-۳- تعیین درصد تخلخل
۵۹ ۶-۳- آزمایش سایش
۶۰ ۱-۶-۳- تهیه پین های سایش
۶۱ ۲-۶-۳- تهیه دیسکهای سایش
۶۲ ۳-۶-۳- طراحی آزمایش سایش
۶۳ ۴-۶-۳- بررسی های میکروسکوپی (نوری و الکترونی)
۶۴ ۱-۶-۴-۳- بررسی سطح سایش
۶۵ ۲-۶-۴-۳- بررسی نواحی زیر سطحی
۶۶ ۳-۶-۴-۳- بررسی براده های سایشی

۶۷ فصل چهارم: نتایج
۶۸ ۱-۴- نتایج آلیاژسازی و بررسی کمی و کیفی ساختار متالورژیکی آلیاژها
۶۹ ۱-۱-۴- بررسی ترکیب شیمیایی
۷۰ ۲-۱-۴- بررسی ریزساختار آلیاژهای ریخته گری شده در قالب چدنی
۷۱ ۲-۱-۴- بررسی ریزساختار آلیاژهای ریخته گری شده در قالب مسی آیگرد
۷۲ ۲-۴- بررسی چگالی و درصد تخلخل نمونه ها
۷۳ ۳-۴- نتایج بررسی خواص مکانیکی

۷۸ خواص کششی	۴-۳-۱
۸۵ بررسی سطوح شکست	۴-۳-۱-۱
۸۸ نتایج سختی سنگی	۴-۳-۲
۹۲ نتایج آزمون ضربه	۴-۳-۳
۹۵ نتایج بررسی رفتار تریبیولوژیکی	۴-۴
۹۵ بررسی رفتار سایشی آلیاژهای ریخته‌گری شده در قالب چدنی (سرعت انجماد $30^{\circ}\text{C}/\text{s}$)	۴-۴-۱
۹۵ نتایج آزمایش سایش در دمای محیط	۴-۴-۱-۱
۹۷ بررسی سطوح سایش	۴-۴-۱-۱-۱
۱۰۸ بررسی نواحی زیر سطحی	۴-۴-۱-۱-۲
۱۱۳ نتایج آزمایش سایش در دمای بالا	۴-۴-۱-۲
۱۱۳ بررسی نرخ سایش	۴-۴-۱-۲-۱
۱۱۹ بررسی سطوح سایش	۴-۴-۱-۲-۲
۱۲۹ بررسی نواحی زیر سطحی	۴-۴-۱-۲-۳
۱۳۴ بررسی رفتار سایشی آلیاژهای ریخته‌گری شده در قالب مسی آبگرد (سرعت انجماد $15^{\circ}\text{C}/\text{s}$)	۴-۴-۲
۱۳۴ نتایج آزمایش سایش در دمای محیط	۴-۴-۲-۱
۱۳۴ بررسی نرخ سایش	۴-۴-۲-۱-۱
۱۳۶ بررسی سطوح سایش	۴-۴-۲-۱-۲
۱۳۶ بررسی نواحی زیر سطحی	۴-۴-۲-۱-۳
۱۴۰ نتایج آزمایش سایش در دمای بالا	۴-۴-۲-۲
۱۴۰ بررسی نرخ سایش	۴-۴-۲-۲-۱
۱۴۲ بررسی سطوح سایش	۴-۴-۲-۲-۲
۱۴۲ نتایج اصطکاک	۴-۴-۳
۱۴۷ نتایج بررسی سایش دیسک فولادی	۴-۴-۴

۱۵۱	فصل پنجم: بحث
۱۵۱	۱-۵- بررسی ساختار میکروسکپی
۱۵۱	۱-۵-۱- ساختار میکروسکپی نمونه های تهیه شده در قالب چدنی پیشگرم شده (سرعت انجماد $3^{\circ}C/s$)
۱۶۱	۱-۵-۲- ساختار میکروسکپی نمونه های تهیه شده در قالب مسی آبگرد (سرعت انجماد $15^{\circ}C/s$)
۱۶۵	۱-۵-۳- تجزیه و تحلیل تاثیر متقابل ساختار میکروسکپی و خواص مکانیکی
۱۶۵	۱-۵-۲-۱- بررسی و تجزیه و تحلیل خواص مکانیکی در دمای محیط
۱۸۴	۱-۵-۲-۲- بررسی خواص مکانیکی در دمای بالا
۱۸۶	۱-۳-۵- تاثیر ترکیبات بین فلزی غنی از آهن بر رفتار تریبولوژیکی آلیاژ F332 در دمای محیط
۱۸۶	۱-۳-۵-۱- بررسی ارتباط بین خواص مکانیکی و مقاومت سایشی
۱۹۵	۱-۳-۵-۲- تجزیه و تحلیل تاثیر متقابل ریزساختار، خواص مکانیکی و رفتار تریبولوژیکی آلیاژ F332
۱۹۵	۱-۳-۵-۲-۱- بررسی تاثیر ترکیبات بین فلزی غنی از آهن بر سایش آلیاژ F332 (سرعت انجماد $3^{\circ}C/s$)
۲۱۸	۱-۳-۵-۲-۲- بررسی تاثیر بهسازی ترکیبات بین فلزی غنی از آهن توسط منگنز بر سایش آلیاژ F332 (سرعت انجماد $3^{\circ}C/s$)
۲۲۸	۱-۳-۵-۲-۳- بررسی تاثیر ترکیبات بین فلزی غنی از آهن بر رفتار سایشی دما بالای آلیاژ F332 (سرعت انجماد $3^{\circ}C/s$)
۲۳۸	۱-۳-۵-۲-۴- بررسی تاثیر بهسازی شیمیایی توسط استرانسیم و/یا منگنز و افزایش سرعت انجماد (۱۵°C/s) بر رفتار سایشی آلیاژ F332 حاوی ۱/۲ درصد آهن
۲۴۶	۱-۳-۵-۲-۵- بررسی تاثیر بهسازی شیمیایی توسط استرانسیم و/یا منگنز و افزایش سرعت انجماد (۱۵°C/s) بر رفتار سایشی دما بالای آلیاژ F332 حاوی ۱/۲ درصد آهن

۲۵۰	فصل ششم: نتیجه گیری
۲۵۳	مراجع
۲۶۷	پیوستها

فهرست جداولها

فصل دوم: مروری بر منابع مطالعاتی

جدول ۱-۲: ترکیب شیمیایی نوعی آلیاژ F332	۴
جدول ۲-۲: آلیاژهای معادل آلیاژ F332 در استانداردهای مختلف	۴
جدول ۲-۳: خواص مکانیکی آلیاژ T5-332.0 F در دماهای مختلف	۴
جدول ۲-۴: مقایسه آلیاژهای آلومینیم مخصوص ریخته‌گری در قالب دائمی به لحاظ قابلیت ریخته‌گری، مقاومت به خوردگی، قابلیت ماشینکاری و جوش پذیری	۴
جدول ۲-۵: خلاصه‌ای از تحقیقات انجام شده در زمینه تاثیر عوامل مختلف بر رفتار سایشی آلیاژهای Al-Si	۲۲
جدول ۲-۶: مهمترین فازهای موجود در آلیاژهای هیپوبوتکتیک Al-Si	۳۳
جدول ۲-۷: ساختار بلوری و پارامتر شبکه ترکیبات بین فلزی غنی از آهن	۳۵
جدول ۲-۸: تاثیر عوامل مختلف بر ترکیبات بین فلزی صفحه‌ای شکل β -Al ₅ FeSi	۴۱

فصل سوم: مواد و روش پژوهش

جدول ۱-۳: ترکیب شیمیایی اولیه و کدهای مورد استفاده برای آلیاژهای مورد استفاده در پژوهش	۵۰
جدول ۲-۳: مشخصات آزمایشهای سایش در این پژوهش	۶۰

فصل چهارم: نتایج

جدول ۱-۴: آنالیز شیمیایی آلیاژ پایه و سایر آلیاژهای مورد استفاده در این پژوهش، (Wt%)	۶۳
جدول ۲-۴: ترکیب شیمیایی متوسط ترکیبات بین فلزی غنی از آهن	۶۷
جدول ۳-۴: تاثیر سرعت انجماد بر مقدار متوسط SDAS و پارامترهای هندسی ذرات سیلیسیم یوتکتیک	۷۴
جدول ۴-۴: اندازه متوسط و تعداد در واحد سطح ترکیبات چند ضلعی در دو آلیاژ ۱/۲FeMn و ۱/۲FeMn-CM	۷۷

جدول ۴-۵: نتایج آنالیز EDS سطح پین آلیاژ پایه پس از سایش به مسافت ۱۰۰۰m در دمای محیط، سرعت

۹۸ و بار اعمالی ۲۰N/۵m/s

جدول ۴-۶: نتایج آنالیز EDS سطح پین آلیاژ پایه پس از سایش به مسافت ۱۰۰۰m در دمای محیط، سرعت

۹۹ و بار اعمالی ۴۰N/۵m/s

جدول ۴-۷: نتایج آنالیز EDS سطح پین آلیاژ Fe/۷٪ پس از سایش به مسافت ۱۰۰۰m در دمای محیط،

سرعت ۱۰۱ و بار اعمالی ۲۰N/۵m/s

جدول ۴-۸: نتایج آنالیز EDS سطح پین آلیاژ Fe/۷٪ پس از سایش به مسافت ۱۰۰۰m در دمای محیط،

سرعت ۱۰۲ و بار اعمالی ۴۰N/۵m/s

جدول ۴-۹: نتایج آنالیز EDS سطح پین آلیاژ Fe/۸٪ پس از سایش به مسافت ۱۰۰۰m در دمای محیط،

سرعت ۱۰۳ و بار اعمالی ۲۰N/۵m/s

جدول ۴-۱۰: نتایج آنالیز EDS سطح پین آلیاژ Fe/۸٪ پس از سایش به مسافت ۱۰۰۰m در دمای محیط،

سرعت ۱۰۵ و بار اعمالی ۴۰N/۵m/s

جدول ۴-۱۱: نتایج آنالیز EDS سطح پین آلیاژ FeMn/۸٪ پس از سایش به مسافت ۱۰۰۰m در دمای

محیط، سرعت ۱۰۶ و بار اعمالی ۲۰N/۵m/s

جدول ۴-۱۲: نتایج آنالیز EDS سطح پین آلیاژ FeMn/۸٪ پس از سایش به مسافت ۱۰۰۰m در دمای

محیط، سرعت ۱۰۷ و بار اعمالی ۴۰N/۵m/s

جدول ۴-۱۳: نتایج آنالیز EDS سطح پین آلیاژ پایه پس از سایش به مسافت ۱۰۰۰m در دمای ۱۰۰°C،

سرعت ۱۲۰ و بار اعمالی ۲۰N/۵m/s و ۴۰N/۵m/s

جدول ۴-۱۴: نتایج آنالیز EDS سطح پین آلیاژ پایه پس از سایش به مسافت ۱۰۰۰m در دمای ۲۰۰°C

سرعت ۱۲۱ و بار اعمالی ۲۰N/۵m/s و ۴۰N/۵m/s

جدول ۴-۱۵: نتیجه آنالیز EDS سطح پین آلیاژ Fe/۸٪ پس از سایش به مسافت ۱۰۰۰m در دمای ۱۰۰°C

سرعت ۱۲۲ و بار اعمالی ۲۰N/۵m/s و ۴۰N/۵m/s

جدول ۱۶-۴: نتیجه آنالیز EDS سطح پین آلیاژ ۱/۸Fe	۱۰۰°C	در دمای ۱۰۰۰m	پس از سایش به مسافت ۱۰۰۰m	۱۰۰°C	ساخت
۱۲۴	۴۰N	و بار اعمالی ۵m/s	۰/۵m/s	۰/۰N	سرعت
جدول ۱۷-۴: نتیجه آنالیز EDS سطح پین آلیاژ ۱/۸Fe	۱۰۰°C	در دمای ۱۰۰۰m	پس از سایش به مسافت ۱۰۰۰m	۱۰۰°C	ساخت
۱۲۵	۲۰N	و بار اعمالی ۵m/s	۰/۵m/s	۰/۰N	سرعت
جدول ۱۸-۴: نتیجه آنالیز EDS سطح پین آلیاژ ۱/۸Fe	۱۰۰°C	در دمای ۱۰۰۰m	پس از سایش به مسافت ۱۰۰۰m	۱۰۰°C	ساخت
۱۲۶	۴۰N	و بار اعمالی ۵m/s	۰/۵m/s	۰/۰N	سرعت
جدول ۱۹-۴: نتیجه آنالیز EDS سطح پین آلیاژ ۱/۸FeMn	۱۰۰°C	در دمای ۱۰۰۰m	پس از سایش به مسافت ۱۰۰۰m	۱۰۰°C	ساخت
۱۲۷	۲۰N	و بار اعمالی ۵m/s	۰/۵m/s	۰/۰N	سرعت
جدول ۲۰-۴: نتیجه آنالیز EDS سطح پین آلیاژ ۱/۸FeMn	۱۰۰°C	در دمای ۱۰۰۰m	پس از سایش به مسافت ۱۰۰۰m	۱۰۰°C	ساخت
۱۲۸	۴۰N	و بار اعمالی ۵m/s	۰/۵m/s	۰/۰N	سرعت
جدول ۲۱-۴: نتیجه آنالیز EDS سطح پین آلیاژ ۱/۸FeMn	۱۰۰°C	در دمای ۱۰۰۰m	پس از سایش به مسافت ۱۰۰۰m	۱۰۰°C	ساخت
۱۳۰	۲۰N	و بار اعمالی ۵m/s	۰/۵m/s	۰/۰N	سرعت
جدول ۲۲-۴: نتیجه آنالیز EDS سطح پین آلیاژ ۱/۸FeMn	۱۰۰°C	در دمای ۱۰۰۰m	پس از سایش به مسافت ۱۰۰۰m	۱۰۰°C	ساخت
۱۳۱	۴۰N	و بار اعمالی ۵m/s	۰/۵m/s	۰/۰N	سرعت
جدول ۲۳-۴: نتیجه آنالیز EDS سطح پین آلیاژ ۱/۲FeSr-CM	۱۰۰°C	در دمای ۱۰۰۰m	پس از سایش به مسافت ۱۰۰۰m	۱۰۰°C	ساخت
۱۳۷	۲۰N	و بار اعمالی ۵m/s	۰/۵m/s	۰/۰N	سرعت
جدول ۲۴-۴: نتیجه آنالیز EDS سطح پین آلیاژ ۱/۲FeSr-CM	۱۰۰°C	در دمای ۱۰۰۰m	پس از سایش به مسافت ۱۰۰۰m	۱۰۰°C	ساخت
۱۳۸	۴۰N	و بار اعمالی ۵m/s	۰/۵m/s	۰/۰N	سرعت
جدول ۲۵-۴: نتیجه آنالیز EDS سطح پین آلیاژ ۱/۲FeSr-CM	۱۰۰°C	در دمای ۱۰۰۰m	پس از سایش به مسافت ۱۰۰۰m	۱۰۰°C	ساخت
۱۴۴	۲۰N	و بار اعمالی ۵m/s	۰/۵m/s	۰/۰N	سرعت
جدول ۲۶-۴: نتیجه آنالیز EDS سطح پین آلیاژ ۱/۲FeSr-CM	۱۰۰°C	در دمای ۱۰۰۰m	پس از سایش به مسافت ۱۰۰۰m	۱۰۰°C	ساخت
۱۴۴	۴۰N	و بار اعمالی ۵m/s	۰/۵m/s	۰/۰N	سرعت

جدول ۴-۲۷: مقادیر متوسط ضریب اصطکاک مربوط به ۵۰۰ متر آخر لغزش تحت بار N ۲۰ و N ۴۰ در سه دمای محیط، 20°C و 100°C ۱۴۶

فصل پنجم: بحث

جدول ۱-۵: مقایسه آنالیز ترکیب شیمیایی رسوبات غنی از آهن به دست آمده در این پژوهش با آنالیز رسوبات غنی از آهن تعیین شده توسط سایر محققین ۱۵۴

جدول ۲-۵: مقادیر سختی میکروسکوپی برخی از مهمترین اجزای موجود در ریزساختار آلیاژ F۳۳۲ ۱۷۸

جدول ۳-۵: آنالیز شیمیایی EDS ذرات ناشی از سایش آلیاژ پایه پس از سایش به مسافت ۱۰۰۰ m و سرعت لغزش 5m/s . (الف) بار اعمالی N ۲۰، (ب) بار اعمالی N ۴۰ ۱۹۹

جدول ۴-۵: آنالیز شیمیایی EDS یک ناحیه معین بر روی ذره ناشی از سایش آلیاژ Fe ۱/۸ ۲۱۲

فهرست شکلها

فصل دوم: مروری بر منابع مطالعاتی

- شکل ۱-۲: جوانه زنی حفره و ترک در اطراف ذرات سیلیسیم در زیر سطح تماس، ذرات سیلیسیم یوتکتیک
بر روی شکل مشخص گردیده اند..... ۱۱
- شکل ۲-۲: چگونگی اشاعه ترک زیر سطحی..... ۱۳
- شکل ۲-۳: دیاگرام شماتیک نواحی زیر سطح سایش نشاندهنده سه ناحیه مجزا در زیر سطح ناحیه ۱: لایه تربولوژیکی، ناحیه ۲: ناحیه تغییر شکل پلاستیک (خفیف و شدید) و ناحیه ۳: ناحیه با تغییر شکل بسیار جزئی..... ۱۴
- شکل ۲-۴: مورفولوژی نوعی سطح پین پس از سایش خفیف (بالا) و سایش شدید (پایین)، (الف) تصویر میکروسکپ نوری، بار N_{10} ، سرعت 0.2 m/s ، (ب) تصویر SEM، بار N_{20} ، سرعت 0.8 m/s ، (پ) تصویر میکروسکپ نوری، بار N_{98} ، سرعت 0.8 m/s ، (ت) تصویر SEM، بار N_{98} ، سرعت 0.8 m/s ۱۵
- شکل ۲-۵: مورفولوژی ذرات سایشی، (الف) ذرات ریز و هم محور تولید شده در بارها و سرعهای لغزش کم (سایش خفیف)، (ب) توده های تیره رنگ آگلومره شده، بار N_{10} و سرعت 0.8 m/s ، (پ) ذرات سایشی صفحهای تولید شده در رژیم سایش خفیف، بار N_{50} ، سرعت لغزش 0.8 m/s ، (ت) ذرات سایشی تولید شده در رژیم سایش شدید، بار N_{98} ، سرعت لغزش 0.8 m/s ۱۶
- شکل ۲-۶: تصویر میکروسکپ الکترونی از نواحی زیر سطحی نمونه تحت سایش لغزشی، (الف) سایش خفیف، (ب) سایش شدید..... ۱۷
- شکل ۲-۷: تاثیر بار بر نرخ سایش آلیاژهای Al-Si، سرعت لغزش 1 m/s ۲۲
- شکل ۲-۸: تاثیر مسافت لغزش بر حجم سایش آلیاژهای Al-Si، سرعت لغزش 1 m/s ، بار اعمالی $N_{19/6}$ ۲۳

- شکل ۲-۹: منحنی تغییرات حجم سایش بر حسب مسافت لغزش آلیاژ ۶۰۶۱، (الف) تغییرات خطی حجم سایش با مسافت لغزش در بارهای کم (سایش خفیف)، (ب) تغییر ناگهانی حجم سایش در بار N_{98} (انتقال از رژیم سایش خفیف به شدید) ۲۵
- شکل ۲-۱۰: تاثیر سرعت لغزش بر نرخ سایش آلیاژهای Al-Si، بار اعمالی $N_{19/6}$ ۲۵
- شکل ۲-۱۱: تاثیر سرعت و زمان لغزش بر دمای سطح ۲۸
- شکل ۲-۱۲: تاثیر دمای سطح و درصد سیلیسیم بر نرخ سایش آلومینیم ۲۸
- شکل ۲-۱۳: تاثیر دمای سطح و درصد سیلیسیم بر ضریب اصطکاک آلومینیم ۲۸
- شکل ۲-۱۴: تاثیر میزان سیلیسیم بر نرخ سایش آلیاژهای Al-Si، بار اعمالی $N_{19/6}$ ۳۰
- شکل ۲-۱۵: گوشه آلومینیم دیاگرام سه تایی Al-Fe-Si ۳۳
- شکل ۲-۱۶: مورفولوژی ترکیبات بین فلزی غنی از آهن، (الف) مورفولوژی حروف چینی فاز آلفا (ب) مورفولوژی سوزنی فاز بتا ۳۵
- شکل ۲-۱۷: تصویر سطح شکست آلیاژ $Al-9Si-2Cu-0.3Mg-1Fe$ ، (الف) شمای کلی از سطح شکست، (ب) فاز بتای صفحه ای شکل درون حفره انقباضی بین دندربیتی، (پ) شبکه ای ترکهای ثانویه، (ت) شکست ترد فاز آلفا ($\alpha-Al_{15}(Fe, Mn)_3Si_2$) ۴۸
- شکل ۲-۱۸: تاثیر افزودن منگنز بر طول متوسط بزرگترین سوزنهای بتا در آلیاژ ۳۱۹ آلومینیم ۴۱
- شکل ۲-۱۹: تاثیر فوق گداز بر ریزساختار و مورفولوژی فاز بتا در آلیاژ $Al-6Si-0.4Fe$ ، (الف) فاز بتای صفحه ای شکل در فوق گداز $750^{\circ}C$ پایدار است، (ب) فوق ذوب $850^{\circ}C$ موجب تغییر مورفولوژی ترکیبات غنی از آهن و شکل گیری ترکیبات حروف چینی شده است ۴۵
- شکل ۲-۲۰: دمای بحرانی نگهداری مذاب بر حسب فاکتور جدایش چند آلیاژ $Al-Si-Cu$ ۴۸

فصل سوم: مواد و روش پژوهش

- شکل ۱-۳: روش اندازه گیری قطر متوسط ذرات بین فلزی با اشکال نامنظم ۵۴

شکل ۲-۳: (الف) تصویر شماتیک چگونگی استقرار پین بر روی دیسک و (پ) چگونگی قرارگیری کوره مقاومتی (المنتهی) بر روی دستگاه ۵۷

فصل چهارم: نتایج

شکل ۱-۴: (الف) ریزساختار آلیاز پایه (F_{332}) در حالت ریختگی (محلول حکاکی HF ۰/۵٪)، (ب) طیف آنالیز عنصری و آنالیز ترکیب شیمیایی رسوبات سفید رنگ موجود در زمینه ۶۴

شکل ۲-۴: تاثیر افزودن آهن بر ریزساختار آلیاز F_{332} ، (الف) آلیاز $Fe_{0.0}/2Fe$ ، (ب) آلیاز $Fe_{0.0}/2Al$ ، (پ) آلیاز $Fe_{0.0}/2Al_5FeSi$ و (ت) آلیاز $Fe_{0.0}/5Al_5FeSi$ بر روی تصاویر مشخص گردیده اند، (محلول حکاکی HF ۰/۵٪) ۶۵

شکل ۳-۴: طیف آنالیز عنصری یکی از رسوبات سوزنی شکل موجود در ریزساختار آلیازهای حاوی آهن ۶۷

شکل ۴-۴: تغییرات (الف) طول متوسط، (ب) کسر حجمی و (پ) نسبت طول به عرض صفحات بتا در آلیازهای مختلف ۶۸

شکل ۴-۵: هیستوگرام توزیع فراوانی طول متوسط فازهای غنی از آهن در (الف) آلیازهای $Fe_{0.0}/2Al$ و (ب) آلیازهای $Fe_{0.0}/8Al$ و (پ) آلیازهای $Fe_{0.0}/2FeSr-CM$ و $Fe_{0.0}/2Fe-CM$ ۶۹

شکل ۶-۴: تاثیر افزودن منگنز بر ریزساختار آلیازهای حاوی آهن، (الف) آلیاز $Mn_{0.0}/Fe$ ، تصویری در بزرگنمایی بالاتر از ذرات غنی از آهن حروف چینی موجود در این آلیاز در گوشه بالا سمت راست تصویر ارائه شده است، (ب) آلیاز $Fe_{0.0}/2Mn$ ، (پ) آلیاز $Fe_{0.0}/1Mn$ و (ت) آلیاز $Fe_{0.0}/5Mn$ ۷۱

شکل ۷-۴: طیف آنالیز عنصری EDS ترکیبات بین فلزی غنی از آهن و منگنز، (الف) رسوبات حروف چینی، (ب) رسوبات ستاره ای شکل و (پ) رسوبات چند ضلعی ۷۲

شکل ۸-۴: مقایسه تغییرات کسر حجمی ترکیبات بین فلزی غنی از آهن بر حسب درصد آهن در آلیازهای بهسازی شده و بهسازی نشده (سرعت انجماد $30^{\circ}C/S$) ۷۳

شکل ۹-۴: مقایسه (الف) اندازه میانگین، (ب) محیط و (پ) مساحت رسوبات آلفای چند ضلعی در دو آلیاز $Fe_{0.0}/5Mn$ و $Fe_{0.0}/8Mn$ ۷۴

- شکل ۴-۱۰: ساختار میکروسکپی (الف) آلیاژ $1/2\text{Fe-CM}$ ، (ب) آلیاژ $1/2\text{FeSr-CM}$ ، (پ) تصویر (ب) در بزرگنمایی ۱۰۰۰، (ت) تصویر (ب) در بزرگنمایی ۵۰۰۰، (محلول حکاکی HF ۰٪) ۷۶
- شکل ۴-۱۱: تصویر میکروسکپ نوری (الف) آلیاژ $1/2\text{FeMn-CM}$ و (ب) آلیاژ $1/2\text{FeMnSr-CM}$ ، ترکیبات بین فلزی با مورفولوژی سوزنی توسط فلش سفید بر روی تصاویر مشخص گردیده اند (محلول حکاکی HF ۰٪) ۷۷
- شکل ۴-۱۲: تاثیر میزان آهن بر چگالی تثوری و ظاهری آلیاژ F۳۳۲ (الف) در شرایط بهسازی نشده و (ب) در شرایط بهسازی شده توسط منگنز ۷۹
- شکل ۴-۱۳: (الف) تاثیر میزان آهن بر درصد تخلخل آلیاژ F۳۳۲ در شرایط بهسازی نشده و بهسازی شده توسط منگنز، (ب) تاثیر افزایش سرعت انجماد از $30^{\circ}\text{C}/\text{s}$ به $15^{\circ}\text{C}/\text{s}$ و بهسازی توسط منگنز و استرانسیم بر درصد تخلخل آلیاژ F۳۳۲ حاوی $1/2$ درصد آهن ۷۹
- شکل ۴-۱۴: تاثیر مقادیر مختلف آهن بر (الف) استحکام کششی و (ب) استحکام تسلیم و (پ) درصد ازدیاد طول آلیاژ F۳۳۲ در شرایط بهسازی نشده و بهسازی شده توسط منگنز ۸۰
- شکل ۴-۱۵: تاثیر سرعت انجماد 15°C/sec بر (الف) استحکام کششی، (ب) استحکام تسلیم و (پ) درصد ازدیاد طول آلیاژ حاوی $1/2$ درصد آهن در شرایط بهسازی نشده و بهسازی شده توسط منگنز و/یا استرانسیم ۸۲
- شکل ۴-۱۶: تغییرات استحکام کششی و درصد ازدیاد طول آلیاژهای منتخب در دو دمای 100°C و 200°C ۸۴
- شکل ۴-۱۷: تصویر میکروسکپ الکترونی سطح شکست نمونه کشش آلیاژ پایه ۸۶
- شکل ۴-۱۸: تصویر میکروسکپ الکترونی سطح شکست نمونه کشش، (الف) آلیاژ $7/\text{Fe}$ ، (ب) آلیاژ $1/8\text{Fe}$ ، (پ) آلیاژ $2/5\text{Fe}$ و (ت) آلیاژ $1/8\text{FeMn}$ ۸۶
- شکل ۴-۱۹: تصویر میکروسکپ الکترونی سطح شکست آلیاژ پایه در دو بزرگنمایی مختلف. بروز شکست در تیغه های سیلیسیم بر روی شکل مشخص گردیده است ۸۷
- شکل ۴-۲۰: تصویر میکروسکپ الکترونی سطح شکست آلیاژ $7/\text{Fe}$ در دو بزرگنمایی مختلف، بروز شکست در تیغه های سیلیسیم بر روی شکل مشخص گردیده است ۸۷
- شکل ۴-۲۱: تصویر میکروسکپ الکترونی سطح شکست آلیاژ $1/2\text{Fe}$ در دو بزرگنمایی مختلف ۸۹
- شکل ۴-۲۲: تصویر میکروسکپ الکترونی سطح شکست آلیاژ $1/8\text{Fe}$ در دو بزرگنمایی مختلف ۸۹